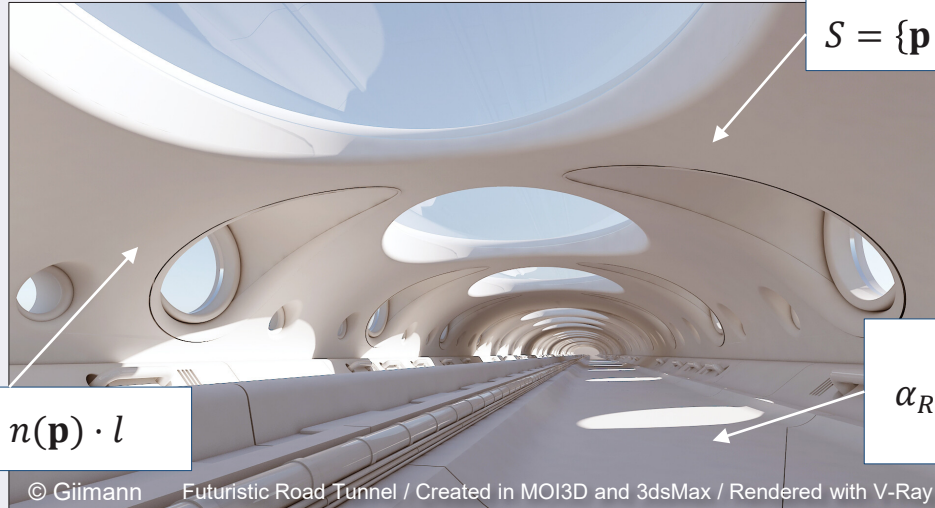


# Computer Graphics

From mathematics ...



$$S = \{\mathbf{p} \in \mathbf{R}^3, f(\mathbf{p}) = 0\}$$

$$d(\mathbf{p}) = n(\mathbf{p}) \cdot l$$

$$\alpha_R(\mathbf{p}) \approx \frac{1}{n} \sum_{i=0}^n \delta_i$$

© Giimann Futuristic Road Tunnel / Created in MOI3D and 3dsMax / Rendered with V-Ray

... to the screen

E. Galin  
Université Lyon 1

# Computer Graphics

Mathematics

Modeling

Color and Texturing

**Shading**

Realistic Rendering

Acceleration

# Introduction

Introduction

Local illumination

Intersections

Camera rays

Supplementary

**Rendu**  
Simulation de l'éclairage

**Rendu réaliste**  
Simulation des phénomènes physiques complexes, interactions lumière-matière, équations globales

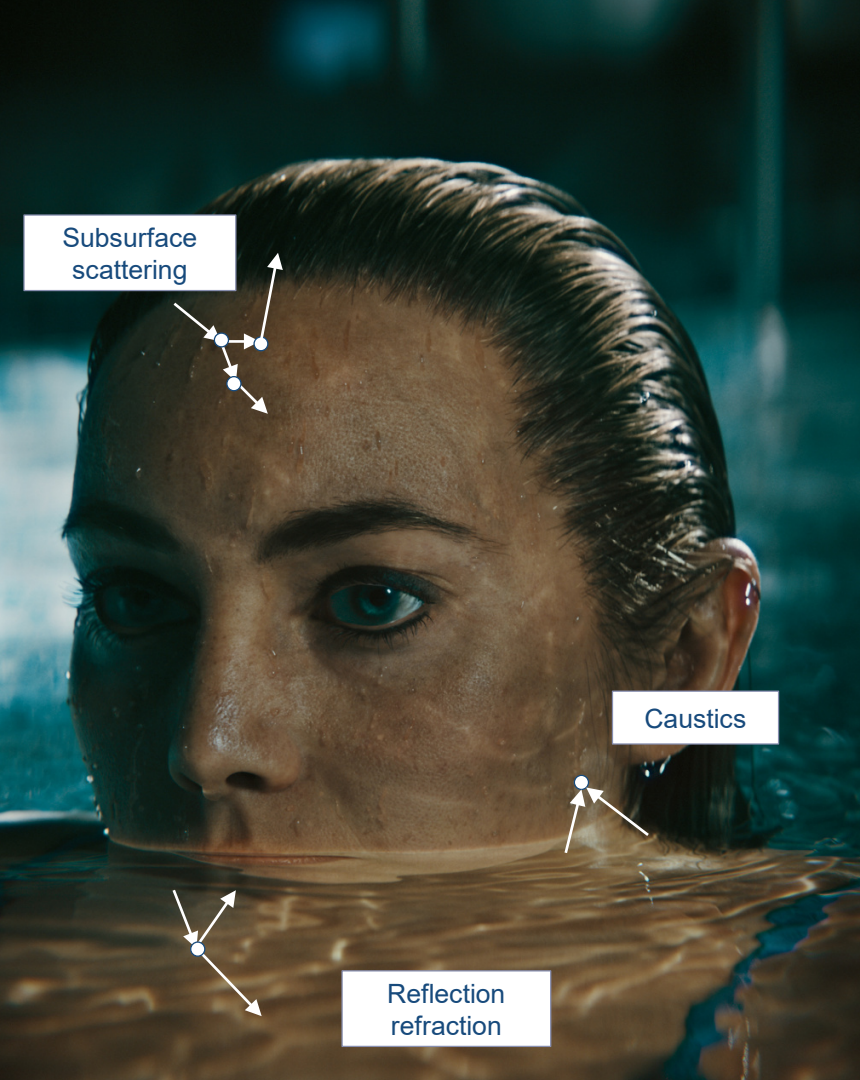
**Shading temps réel**  
Simplification extrêmes, approches phénoménologiques, équations locales, émulation des effets manquants



eric.galin@liris.cnrs.fr  
<http://liris.cnrs.fr/~egalin>

# Computer Graphics

## Global illumination



# L'équation de rendu

Introduction

Local illumination

Intersections

Camera rays

Supplementary

## Synthèse

Equation intégrale de Fredholm de second type [Kajiya 1986]

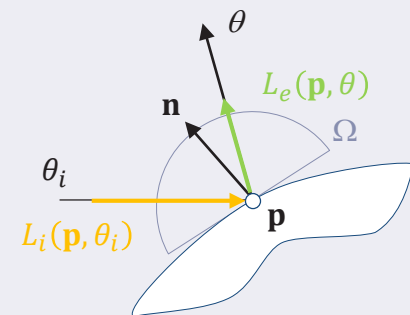
Définition récursive de  $L(\mathbf{p}, \theta)$

Emission dans la direction  $\theta$       Somme dans toutes les directions      Lumière arrivant en  $\mathbf{p}$  de la direction  $\theta_i$

$$L(\mathbf{p}, \theta) = L_e(\mathbf{p}, \theta) + \int_{\Omega} f(\theta_i, \theta) L_i(\mathbf{p}, \theta_i) \cos \theta_i d\theta_i$$

Lumière quittant  $\mathbf{p}$  dans la direction  $\theta$       Position  $\mathbf{p}$  sur l'objet

Bidirectional Reflectance Distribution Function at  $\mathbf{p}$



Master



eric.galin@liris.cnrs.fr  
http://liris.cnrs.fr/~egalin

J. Kajiya. The rendering equation, 143–150, 20(4), Proceedings of SIGGRAPH, 1986

# L'équation de rendu

Introduction

Local illumination

Intersections

Camera rays

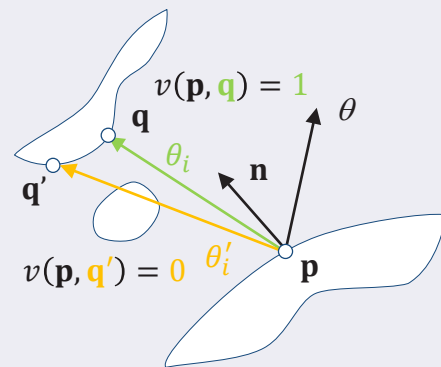
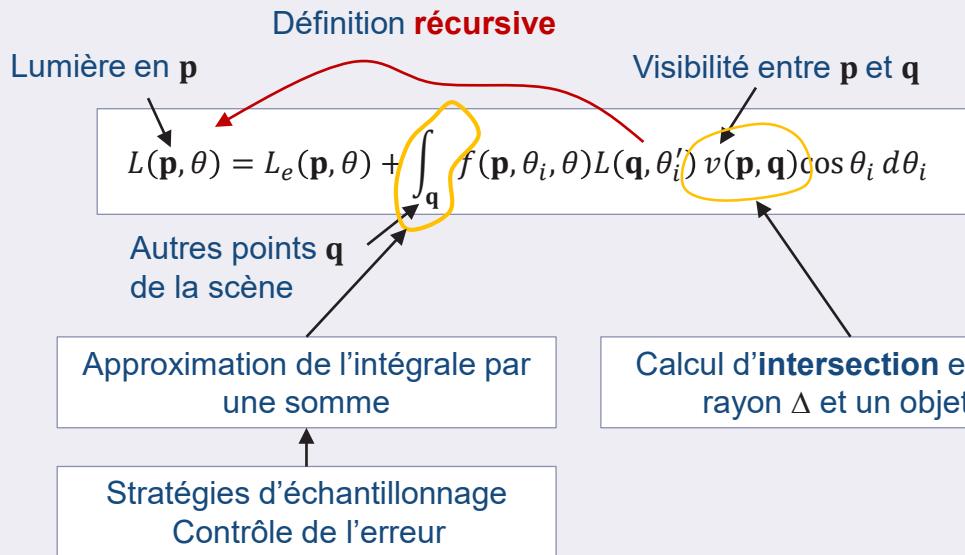
Supplementary

## Analyse

Résolution complexe et coûteuse

Echantillonnage **stochastique** (Monte Carlo) des chemin lumineux

Shader



eric.galin@liris.cnrs.fr  
<http://liris.cnrs.fr/~egalain>

J. Kajiya. The rendering equation, 143–150, 20(4), Proceedings of SIGGRAPH, 1986

# Analyse

Introduction

Local illumination

Intersections

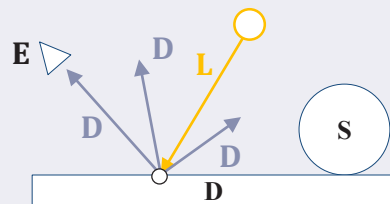
Camera rays

Supplementary

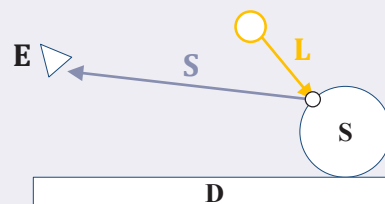
## Trajectoires de lumière

Principe du retour inverse de la lumière

Eclairage direct : chemin lumineux  $L[D|S]E$



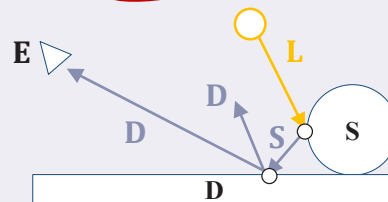
Chemin **LDE**



Chemin **LSE**

Eclairage indirect : chemin lumineux  $L[S|D]^*E$

Complexe,  $n$  niveaux



Chemin **LSDE**



eric.galin@liris.cnrs.fr

<http://liris.cnrs.fr/~egalin>



## Introduction

Local illumination

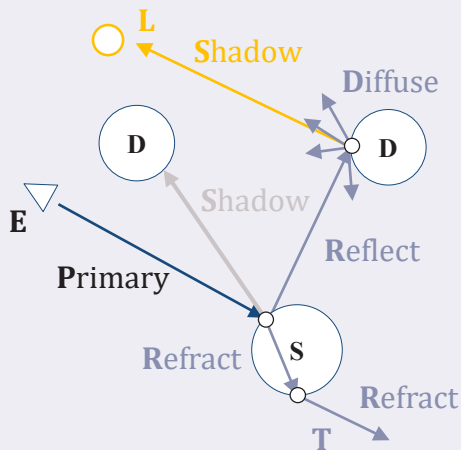
Intersections

Camera rays

Supplementary

## Détection

Détection d'un chemin lumineux à chaque étape de  $L[S | D]^*E$  ?



# Analyse

Introduction

Local illumination

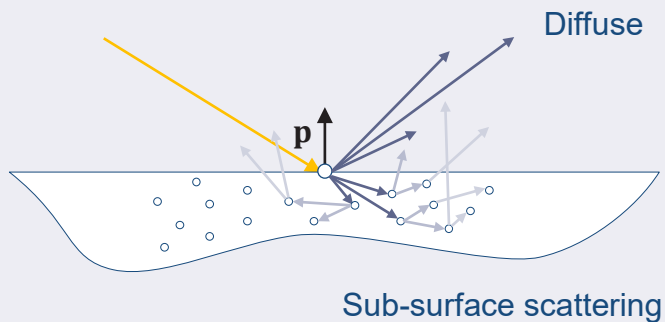
Intersections

Camera rays

Supplementary

## Cas général

Matériaux **transparents**, **dispersifs**



eric.galin@liris.cnrs.fr  
<http://liris.cnrs.fr/~egalin>

# Computer Graphics

## Local Illumination

# Analyse de la BRDF

Introduction

Local illumination

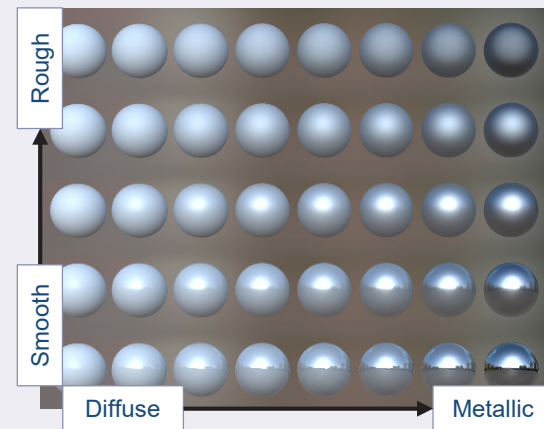
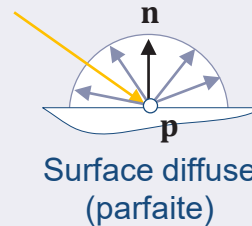
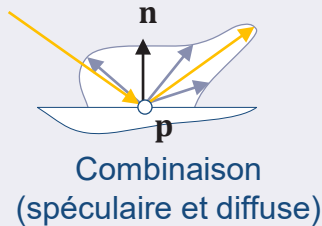
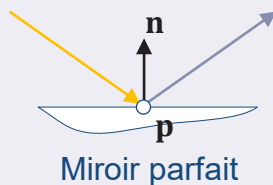
Intersections

Camera rays

Supplementary

## Cas particuliers

Surface non transparente, plus ou moins réfléchissante



eric.galin@liris.cnrs.fr  
<http://liris.cnrs.fr/~egalain>

# Modèle local simplifié

Introduction

Local illumination

Intersections

Camera rays

Supplementary

## Modèle ambiant diffuse spéculaire

Approximation de la couleur  $c$  de la surface comme somme de trois composantes

$$c = c_a + c_d + c_s$$

Ambiant

Diffus

Spéculaire

$$c_a = m_a \otimes l_a$$

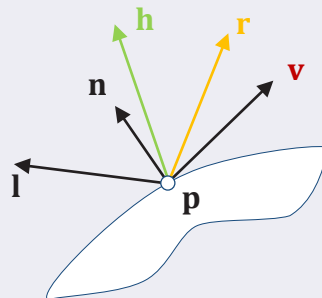
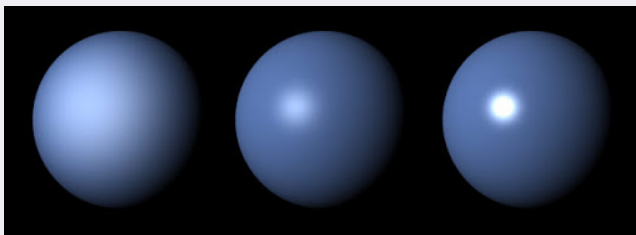
Approximation grossière  
des multiples réflexions

$$c_d = m_d \otimes l_d \max(\mathbf{n} \cdot \mathbf{l}, 0)$$

Indépendant de  $\mathbf{v}$  : une surface diffuse  
idéale reflète la lumière également dans  
toutes les directions (loi de Lambert)

$$c_s = m_s \otimes l_s \max(\mathbf{r} \cdot \mathbf{v}, 0)^n$$

Direction réfléchie  
 $\mathbf{r} = 2(\mathbf{n} \cdot \mathbf{l}) \mathbf{n} - \mathbf{l}$



$$c_d = m_s \otimes l_s \max(\mathbf{h} \cdot \mathbf{v}, 0)^n$$

Demi direction réfléchie

$$\mathbf{h} = \frac{\mathbf{l} + \mathbf{v}}{\|\mathbf{l} + \mathbf{v}\|}$$



eric.galin@liris.cnrs.fr  
<http://liris.cnrs.fr/~egalain>

# Ombres

Introduction

Local illumination

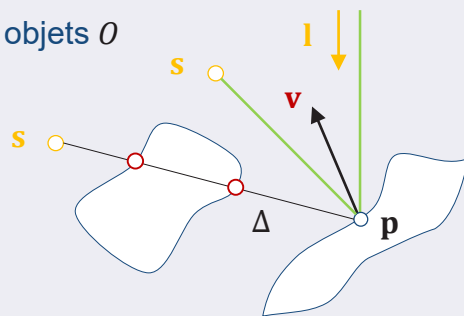
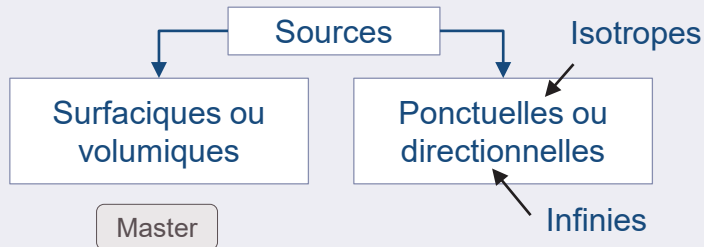
Intersections

Camera rays

Supplementary

## Principe

Occlusion (partielle ou complète) de la source lumineuse  $s$  par des objets  $O$   
Indépendantes de l'observateur donc de  $v$



## Visibilité

Test d'intersection entre un rayon entre  $p$  et la source et les objets  $O$  de la scène

Ponctuelle isotrope

$$v(p, s) = \delta_{[p,s]nO}$$

Segment  $[p, s]$  Objets

Directionnelle infinie

$$v(p, s_\infty) = \delta_{\Delta nO}$$

Rayon de  $p$   
de direction  $-l$

## Remarque

Les ombres, l'éclairage diffus sont indépendants de  $v$   
L'éclairage est constant si  $s$  et  $O$  constants



eric.galin@liris.cnrs.fr

http://liris.cnrs.fr/~egalain

# Occlusion ambiante

Introduction

Local illumination

Intersections

Camera rays

Supplementary

## Principe

Approximation locale de l'accessibilité

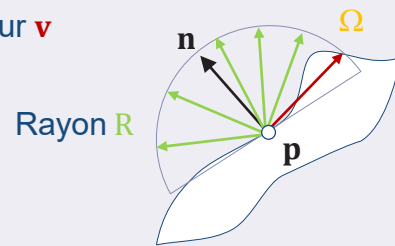
Indépendante de la position des sources lumineuses  $\mathbf{s}$  et de l'observateur  $\mathbf{v}$

$$\alpha(\mathbf{p}) = \frac{1}{\pi} \int_{\Omega} v(\mathbf{p}, \omega) \mathbf{n} \cdot \omega d\omega$$

Accessibilité Hémisphère Visibilité Angle solide

$$\alpha_R(\mathbf{p}) \approx \frac{1}{n} \sum_{\omega_i} v_R(\mathbf{p}, \omega) \mathbf{n} \cdot \omega_i$$

Nombre d'échantillons Visibilité locale



## Visibilité

Test d'intersection entre un rayon et l'objet

$$v_R(\mathbf{p}, \omega) = \delta_{[\mathbf{p}, \mathbf{p} + R\omega] \cap \mathcal{O}}$$

Segment de longueur  $R$



eric.galin@liris.cnrs.fr  
http://liris.cnrs.fr/~egalin

# Light and shadow baking

Introduction

Local illumination

Intersections

Camera rays

Supplementary

## Principe

Les ombres et l'éclairage diffus  $E$  sont indépendants de  $\mathbf{v}$

$E$  constant si  $\mathbf{s}$  et  $O$  constants

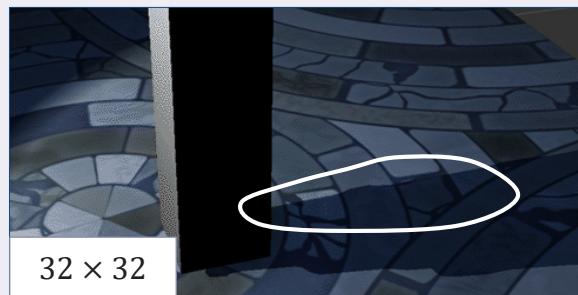
Coût de stockage de  $T_E$

**Prétraitement** des points  $\mathbf{p}_O$  de  $O$  : calculer  $E(\mathbf{p}_O)$  et stocker le résultat dans une  $T_E$  associée  
Rendu **accéléré** par la requête des valeurs dans  $T_E$

Effets lumineux **complexes**

## Limites

Des objets  $O$  de même texture de matériau instanciés à des endroits différents ont souvent des cartes d'éclairage  $T_E$  différentes







Light map



Ambient  
occlusion





Foliage shadow

Ambient occlusion

# Computer Graphics

## Reflection and refraction

# Réflexion

Introduction

Local illumination

Intersections

Camera rays

Supplementary

## Principe

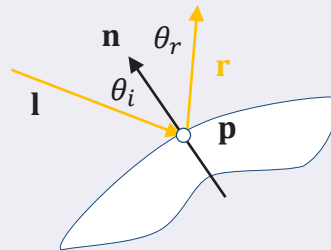
Miroir parfait

Direction de réflexion

$$\mathbf{r} = \mathbf{l} - 2(\mathbf{n} \cdot \mathbf{l})\mathbf{n}$$

$$\theta_i = \theta_r$$

Incident Réfléchi



eric.galin@liris.cnrs.fr

<http://liris.cnrs.fr/~egalin>

# Réfraction

- Introduction
- Local illumination
- Intersections
- Camera rays
- Supplementary

## Principe

Loi de Snell

Ratio des indices de réfraction

$$\eta = \eta_i / \eta_t$$

Transmission

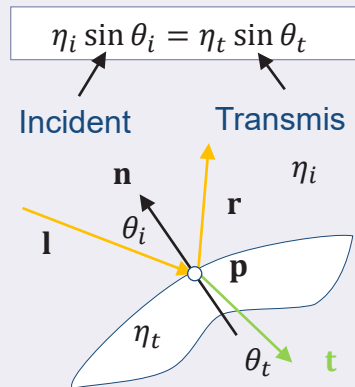
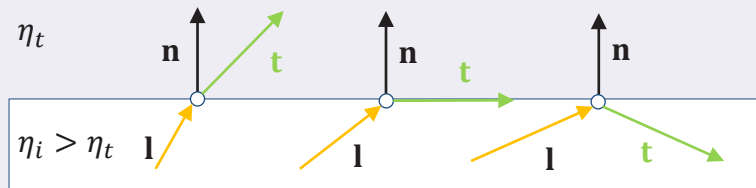
$$\kappa = 1 - \eta^2 (1 - (\mathbf{n} \cdot \mathbf{l})^2)$$

Réfraction seulement si  $\kappa > 0$

$$\mathbf{t} = \eta \mathbf{l} - (\eta \mathbf{n} \cdot \mathbf{l} + \sqrt{\kappa}) \mathbf{n}$$

Réflexion totale interne si  $\eta_i > \eta_t$  (donc si  $\eta > 1$ )

Dans ce cas, si  $\theta_i > \theta_c$  alors réflexion



$$\eta_i \sin \theta_i = \eta_t \sin \theta_t$$

Incident

Transmis

$\eta_i$

$\eta_t$

Coefficient d'absorption

$$i = i_0 e^{-k d}$$

Distance

## Absorption

Loi de Beer-Lambert pour un milieu transparent absorbant

## Fresnel

Quantité de lumière transmise ou réfléchiée dépend de  $\theta_i$

Master



eric.galin@liris.cnrs.fr  
<http://liris.cnrs.fr/~egalain>

# Réfraction

Introduction

Local illumination

Intersections

Camera rays

Supplementary

## Fresnel

Quantité de lumière transmise ou réfléchié dépend de  $\theta_i$   
Décomposition de la lumière en ondes parallèle et polarisée

Master

$$F_R^\perp = \left( \frac{\eta_i \cos \theta_i - \eta_t \cos \theta_t}{\eta_i \cos \theta_i + \eta_t \cos \theta_t} \right)^2$$

$$F_R^\parallel = \left( \frac{\eta_i \cos \theta_t - \eta_t \cos \theta_i}{\eta_i \cos \theta_t + \eta_t \cos \theta_i} \right)^2$$

$$F_R = (F_R^\parallel + F_R^\perp) / 2$$



eric.galin@liris.cnrs.fr  
<http://liris.cnrs.fr/~egalin>

# Computer Graphics

## Intersections



# Primitives géométriques

Introduction

Local illumination

Intersections

Camera rays

Supplementary

## Sphère

Recherche de  $\Delta \cap S$

Résolution de l'équation du second degré

$$\mathbf{d}^2 t^2 + 2(\mathbf{o} - \mathbf{c}) \cdot \mathbf{d} t + (\mathbf{o} - \mathbf{c})^2 - r^2 = 0$$

Méthode géométrique plus efficace

Calcul de  $d(\mathbf{p}(t), \Delta)^2$  et comparaison à  $r^2$

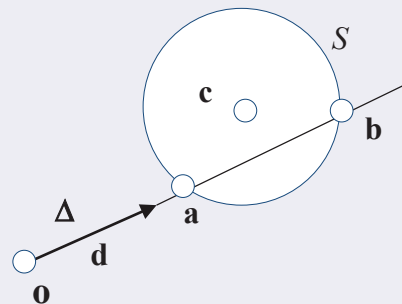
Optimisations : rayon de direction unitaire  $|\mathbf{d}| = 1$

Equation implicite de S

$$(\mathbf{p} - \mathbf{c})^2 = r^2$$

$$\mathbf{p}(t) = \mathbf{o} + \mathbf{d}t$$

Equation paramétrique de  $\Delta$



eric.galin@liris.cnrs.fr

http://liris.cnrs.fr/~egalin

# Primitives géométriques

Introduction

Local illumination

Intersections

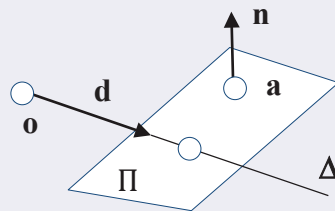
Camera rays

Supplementary

## Plan

Recherche de  $\Delta \cap \Pi$   
Résolution de l'équation linéaire

$$\mathbf{d} \cdot \mathbf{n} t + (\mathbf{o} - \mathbf{a}) \cdot \mathbf{n} = 0$$



Equation implicite de  $\Pi$

$$(\mathbf{p} - \mathbf{a}) \cdot \mathbf{n} = 0$$

$$\mathbf{p}(t) = \mathbf{o} + \mathbf{d}t$$

## Boîte

Intersection avec les plans  $\Pi_{yz}$ ,  $\Pi_{xz}$  et  $\Pi_{xy}$  parallèles aux axes

Abscisse  $t \in \mathbb{R}$

Intersection ray  $\Delta : \mathbf{o} + \mathbf{d}t$  and  $B(\mathbf{a}, \mathbf{b})$   
Compute  $\mathbf{u} = (\mathbf{a} - \mathbf{o}) / \mathbf{d}$  and  $\mathbf{v} = (\mathbf{b} - \mathbf{o}) / \mathbf{d}$   
Compute  $t^- = \min(\mathbf{u}, \mathbf{v})$  and  $t^+ = \max(\mathbf{u}, \mathbf{v})$   
 $t_{in} = \max(t_x^-, t_y^-, t_z^-)$  and  $t_{out} = \min(t_x^+, t_y^+, t_z^+)$   
If  $t_{in} < t_{out}$  and  $t_{in} > 0$  return true  
return false

Division membre à membre et factorisation  $\mathbf{n} = \pm \mathbf{x}$  ou  $\pm \mathbf{y}$  ou  $\pm \mathbf{z}$



eric.galin@liris.cnrs.fr  
<http://liris.cnrs.fr/~egaline>

# Primitives géométriques

- Introduction
- Local illumination
- Intersections
- Camera rays
- Supplementary

## Cylindre infini

Cylindre  $C_\infty$  caractérisé par une droite  $D$  et le rayon  $r$

$$d^2(\mathbf{p}, D) = (\mathbf{p} - \mathbf{a})^2 - ((\mathbf{p} - \mathbf{a}) \cdot \mathbf{u})^2$$

Point de  $D$

Vecteur directeur de  $D$

Equation implicite de  $C_\infty$

$$d(\mathbf{p}, D)^2 = r^2$$

$$\mathbf{p}(t) = \mathbf{o} + \mathbf{d}t$$

Equation paramétrique de  $\Delta$

$$(\mathbf{d}^2 - (\mathbf{d} \cdot \mathbf{u})^2) t^2 + 2(\mathbf{b} \cdot \mathbf{d} - \mathbf{b} \cdot \mathbf{u} \times \mathbf{d} \cdot \mathbf{u})t + \mathbf{b}^2 - (\mathbf{b} \cdot \mathbf{u})^2 - r^2 = 0$$

On définit  $\mathbf{b} = \mathbf{o} - \mathbf{a}$

## Cylindre

Cylindre  $C = C_\infty \cap S$  intersection entre un cylindre  $C_\infty$  et un slab  $S$

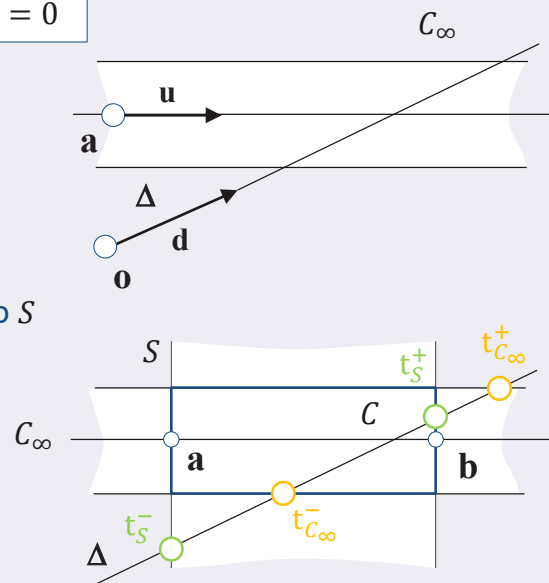
Calcul de l'intervalle d'intersection  $[t^-, t^+]$

$$[t^-, t^+] = (C_\infty \cap \Delta) \cap (S \cap \Delta)$$

Cylindre

Slab

$$[t^-, t^+] = [\max(t_S^-, t_{C_\infty}^-), \min(t_S^+, t_{C_\infty}^+)]$$



eric.galin@liris.cnrs.fr  
http://liris.cnrs.fr/~egalin

# Primitives géométriques

Introduction

Local illumination

Intersections

Camera rays

Supplementary

## Tore

Tore défini par un centre, un axe, et deux rayons

On note  $c^2 = (\mathbf{p} - \mathbf{c})^2$ ,  $h^2 = ((\mathbf{p} - \mathbf{c}) \cdot \mathbf{u})$  et  $l^2 = c^2 - h^2$

Equation implicite de  $T$

$$(l - R)^2 + h^2 = r^2$$

Résolution d'une quartique

$$(r^2 - h^2 - l^2 - R^2)^2 - 4R^2l^2 = 0$$

## Surfaces implicites

Pas de méthode analytique générale

Sphere Tracing [Hart1996]

**Sphere Tracing** [Hart1996]

Start from ray origin  $\mathbf{p} = \mathbf{o}$

At every step  $i$

If  $f(\mathbf{p}_i) < 0$  then

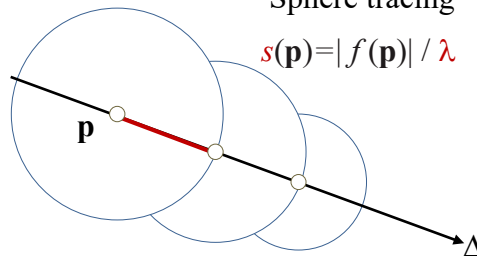
Intersection found

Otherwise step forward

$$s(\mathbf{p}_i) = |f(\mathbf{p}_i)| / \lambda$$

Sphere tracing

$$s(\mathbf{p}) = |f(\mathbf{p})| / \lambda$$



eric.galin@liris.cnrs.fr

http://liris.cnrs.fr/~egalain

Master

J. Hart. Sphere Tracing: A Geometric Method for the Antialiased Ray Tracing of Implicit Surfaces. *The Visual Computer* 12(10), 527–545, 1996.

# Computer Graphics

## Supplementary material

## Méthode

Cas des surfaces diffuses

Calcul des facteurs de forme (visibilité) entre éléments (maillages)

Résolution des échanges d'énergie

$$B_i = E_i + \rho_i \sum F_{ij} B_j$$

Énergie émise    Facteur de forme

Résolution de  $(1 - \rho_i \sum F_{ij}) = E_i$

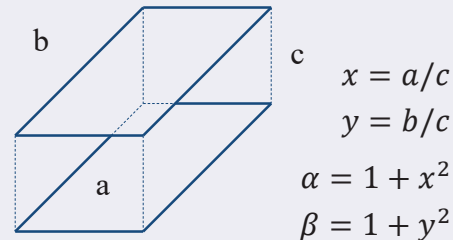
## Facteurs de forme

Mesure d'échange entre surfaces

Calcul analytique de  $F_{ij}$  impossible en général: échantillonnage

$$F_{ij} = \int_{A_i} \int_{A_j} \frac{1}{\pi r^2} \cos \phi_i \cos \phi_j u_{ij} dA_i dA_j$$

Fraction de la surface visible de  $A_i$  vers  $A_j$



$$F_{ij} = \left( \frac{\alpha \beta}{1 + x^2 + y^2} \right)^{1/2} + \frac{2}{\pi xy} \left( y \sqrt{\alpha} \tan^{-1} \left( \frac{y}{\sqrt{\alpha}} \right) - x \tan^{-1} x - y \tan^{-1} y \right)$$

# Avantages et limitations

Introduction

Local illumination

Intersections

Camera rays

Supplementary

## Analyse

Surfaces diffuses : éclairage indépendant du point de vue [Cohen1988]

Prise en compte des surfaces spéculaires complexes

Surfaces maillées uniquement

Méthode dépassée par les techniques de lancer de rayon



The factory model contains **30 000** patches, and was the most complex radiosity solution computed in 1988. It took approximately **5** hours for 2,000 shots, and the image generation required **190** hours.



eric.galin@liris.cnrs.fr  
<http://liris.cnrs.fr/~egalin>

Michael F. Cohen, Shen Chang, Eric Chen, John R. Wallace and Donald P. Greenberg. A Progressive Refinement Approach to Fast Radiosity Image Generation, Proceedings of SIGGRAPH, 1988.